

## بررسی رفتار لرزاهاي ساختمانهاي داراي جداساز لرزاهاي حوزه نزديک و دور از گسل اندرکنش خاک و سازه تحت زلزلههاي حوزه نزديك و دور از گسل

مریم رشیدی<sup>۱</sup>، مجتبی فتحی<sup>۲\*</sup>، افشین ناصرپور<sup>۳</sup>

<sup>۱</sup> کارشناسی ارشد مهندسی سازه، دانشکده فنی و مهندسی، دانشگاه رازی، کرمانشاه

<sup>۲</sup> دانشیار مهندسی سازه، دانشکده فنی و مهندسی، دانشگاه رازی، کرمانشاه

<sup>۳</sup> دکتری مهندسی سازه، دانشکده فنی و مهندسی، دانشگاه رازی، کرمانشاه

دریافت: ۱۴۰۰/۶/۲، بازنگری: ۱۴۰۰/۹/۱، پذیرش: ۱۴۰۰/۹/۱۳، نشر آنلاین: ۱۴۰۰/۹/۱۳

### چکیده

مطالعه حاضر به تأثیر اندرکنش خاک و سازه بر روی رفتار لرزاهاي قابهاي جداسازی شده پایه تحت زلزلههاي حوزه نزديك و دور پرداخته است. برای اين منظور، نتایج تحلیل های دینامیکی غيرخطی قابهاي يك، چهار و هشت طبقه جداسازی شده پایه، با قابهاي متناظر پایه ثابت، مقایسه شدند. طبق نتایج می توان گفت که شتاب طبقات در سازههاي داراي جداساز پایه، بهشت کاهش می يابد و در برخی حالات به حدود ۲۰ درصد حالت پایه ثابت و حتی کمتر نیز می رسد. ملاحظه کردن اثر اندرکنش خاک و سازه در قابهاي يك و چهار طبقه داراي جداساز پایه، تأثیر چندانی روی تغییرمکان جانبی طبقات ندارد اما در قاب ۸ طبقه روی بستر نرم تحت زلزلههاي حوزه نزديك، تا حدود ۸۰ درصد بیشتر است. همچنین نشان داده شد که برای قابهاي داراي جداساز پایه، جذب انرژی در تیرها و ستونها تا ۱۰۰ درصد در مقایسه با قابهاي بدون جداساز کاهش می يابد. در اين حالت، در نظر گرفتن اثر اندرکنش خاک و سازه تأثیر چندان زیادی در نتایج جذب انرژی قابهاي جداسازده در پایه ندارد. درمجموع با توجه به نتایج شتاب و تغییرمکان طبقات می توان گفت استفاده از جداساز لرزاهاي پایه، برای قاب هشت طبقه مطلوب نیست.

**کلیدواژه‌ها:** جداساز لرزاهاي، اندرکنش خاک و سازه، خاک نرم، حوزه نزديك، شتاب طبقات، تغییرمکان طبقات.

### جداسازهاي اصطکاكي (PF)<sup>۱</sup>، جداسازهاي لاستيكي سري

(LRB)<sup>۲</sup> و جداسازهاي لاستيكي با ميرايي بالا (HDRB)<sup>۳</sup>. زلزلههاي نزديك گسل بهدليل پالسهاي طولاني که دارند می توانند برای ساختمانهاي جداسازی شده پایه، مشكل ساز شوند. از اين رو در سالهاي اخير يك سري مطالعات به بررسی رفتار لرزاهاي جداسازهاي لرزاهاي پایه تحت زلزلههاي نزديك گسل اختصاص داده شده است. در بسياري از تحقیقات فوق از اثرات اندرکنش خاک و سازه بر روی رفتار لرزاهاي قابهاي جداسازی شده صرفنظر شده است. درحالی که مشاهدات بعد از زلزلههاي شدید رخداده، نشان داده است که اثرات اندرکنش خاک و سازه (SSI)<sup>۴</sup> می تواند رفتار لرزاهاي سازهها را تغيير عده دهد. Spyros Spyarakos و همکاران (۲۰۰۹) تأثیرات اندرکنش خاک و سازه (SSI) را بر پاسخ ساختمانهاي جداسازی شده مورد مطالعه

### - مقدمه

جداساز لرزاهاي يك رویکرد مؤثر برای کاهش نیروهای وارد بر سازهها می باشد. جداسازهاي لرزاهاي پایه بهدليل سختی جانبی کمتر، موجب افزایش زمان تناوب در سازه می شوند. با افزایش زمان تناوب، شتاب ورودی به سازه اصلی کم شده و بخش قابل توجهی از انرژی ورودی در جداسازها جذب می شود. ولیکن افزایش زمان تناوب سازه، موجب افزایش تغییرمکان افقی در جداسازهاي پایه می شود. با افزایش میرايي در تراز جداسازهاي پایه می توان تغییرمکان افقی را تا حد قابل قبولی کاهش داد. در دهههای اخير انواع جداسازهاي لرزاهاي پيشنهاد شده اند و عملکرد لرزاهاي آنها بر روی سازهها توسيط بسياري از محققين مورد ارزيايی قرار گرفته است. انواع جداسازهاي لرزاهاي معرفی شده عبارت اند از:

3. High Damping Rubber Bearing  
4. Soil Structure Interaction

1. Friction Bearing  
2. Leader Rubber Bearing

\* نويسنده مسئول؛ شماره تماس: ۰۹۸۹۷۸۷۹۷۰ ۷۳۱

آدرس ايميل: rashidi6889@gmail.com (م. رشیدی)، fathim@razi.ac.ir (م. فتحی)، naserpour.afshin@gmail.com (ا. ناصرپور).

و همکاران (۲۰۱۶) به مطالعه اهمیت افزایش سختی Alhan تغییرشکل جانبی لاستیک‌هایی با میرایی بالا بر روی پاسخ لرزه‌ای ساختمان‌های جداسازی شده پایه، تحت زلزله‌های حوزه نزدیک پرداختند. Bhagat و Wijeyewickrema (۲۰۱۷) به ارزیابی رفتار لرزه‌ای ساختمان‌های بتن مسلح جداسازی شده در پایه تحت دو مؤلفه افقی زلزله‌های حوزه نزدیک پرداختند. Sheikhi و همکاران (۲۰۲۰ و ۲۰۲۱) استفاده از جداسازهای لرزه‌ای لاستیکی همراه با میراگرهای فولادی حلقه‌ای شکل موردمطالعه قرار داده‌اند و دریافتند که استفاده از میراگرهای فولادی  $\approx$  شکل بهجای حلقه‌ای شکل می‌تواند کارسازتر باشد. در مطالعه حاضر به تأثیر اندرکنش خاک و سازه بر روی رفتار لرزه‌ای قاب‌های جداسازی شده پایه تحت زلزله‌های حوزه نزدیک و دور پرداخته شده است. قاب‌های تحت زلزله‌های حوزه نزدیک و دور پرداخته شده است. قاب‌های موردمطالعه در این مطالعه در سه سطح ارتفاعی کوتاه، متوسط و بلند می‌باشند. همچنین برای مطالعه‌ای مفیدتر نتایج تحلیلی قاب‌های جداسازی شده با نتایج قاب‌های با پایه ثابت مقایسه شده‌اند. برای مدل‌سازی عددی از نرم‌افزار اجزاء محدود آباکوس<sup>۲</sup>، برای تحلیل دینامیکی ساختمان‌های جداسازی شده با جداسازهای لاستیکی سری (LRB) و ساختمان‌های پایه ثابت استفاده شده است.

## ۲- مشخصات مدل‌های موردمطالعه

سازه‌های موردمطالعه، قاب‌های فولادی خمی ۱، ۴ و ۸ طبقه، در چهار حالت سازه با پایه ثابت روی فونداسیون صلب، سازه جداسازی شده پایه روی فونداسیون صلب، سازه با پایه ثابت روی خاک و سازه جداسازی شده پایه روی خاک می‌باشد (شکل ۱). ارتفاع طبقات در کلیه قاب‌ها برابر  $3/2$  متر است و منظور از پارامتر H در این شکل ارتفاع کلی قاب‌های موردنظر می‌باشد. برای بارگذاری و طراحی مدل‌های قاب خمی فولادی، از مبحث دهم مقررات ملی ساختمان و استاندارد ۲۸۰۰ استفاده شده است. شایان ذکر است، که برای کلیه مدل‌ها، هر قاب دارای ۷ دهانه به طول ۴ متر است. فاصله افقی مرزهای جانبی حداقل ۵ برابر عرض سازه، و حداقل عمق  $30$  متر برای عمق سنگ بستر در نظر گرفته شده است. میزان بار مرده و زنده طبقات به ترتیب  $750$  و  $250$  کیلوگرم بر مترمربع در نظر گرفته شده است. عرض بارگیر کلیه قاب‌ها در طبقات، برابر ۵ متر می‌باشد. همچنین در تراز جداسازی یک دیافراگم صلب در نظر گرفته شده است. مشخصات چهار نوع خاک مختلف، مطابق استاندارد ۲۸۰۰ ایران ویراش چهارم در جدول (۱) و مشخصات اعضاً تیر و ستون قاب‌های موردمطالعه و مشخصات سختی و میرایی جداسازهای لرزه‌ای در جدول (۲) آرائه شده است.

قرار دادند. نتایج بدست آمده نشان داد که اثرات اندرکنش خاک و سازه بر میرایی سیستم نسبتاً ناچیز است. Soyoz و همکاران (۲۰۱۰) تأثیر سیستم‌های جداساز لرزه‌ای با در نظر گیری اندرکنش خاک و سازه همراه با پدیده روانگرایی را موردمبررسی قرار دادند. آن‌ها چهار نوع مختلف از سازه‌ها و سه نوع مختلف از شرایط خاک را تحت دو مؤلفه مختلف شتاب‌نگاشت تحلیل کردند. Li و همکاران (۲۰۱۱) یک مدل اصلاحی جدید برای ارزیابی اثرات اندرکنش خاک و سازه در سازه‌های جداسازی شده پایه ارائه دادند. Mahmoud و همکاران (۲۰۱۲) در مقاله‌ای، پاسخ ساختمان‌های جداسازی شده تحت تحрیکات زلزله را با در نظر گرفتن انعطاف‌پذیری خاک، شبیه‌سازی کردن و نتیجه گرفتند که انعطاف‌پذیری خاک، تأثیر قابل توجهی بر رفتار ساختمان جداسازی شده خواهد داشت.

Tsai و همکاران (۲۰۱۳) اثرات اندرکنش خاک و سازه و مودهای بالاتر را بر پاسخ دینامیکی ساختمان‌های جداسازی شده از طریق راه حل‌های فرم بسته برای روسازه، سیستم جداساز و سیستم خاک تحت شرایط مختلف، شامل موارد فونداسیون نیم-فضا و صلب موردمبررسی قرار دادند. Luco (۲۰۱۴) اثرات اندرکنش خاک سازه را بر روی عملکرد سیستم‌های جداساز لرزه‌ای غیرخطی برای یک سازه الاستیک ساده موردمبررسی قرارداد.

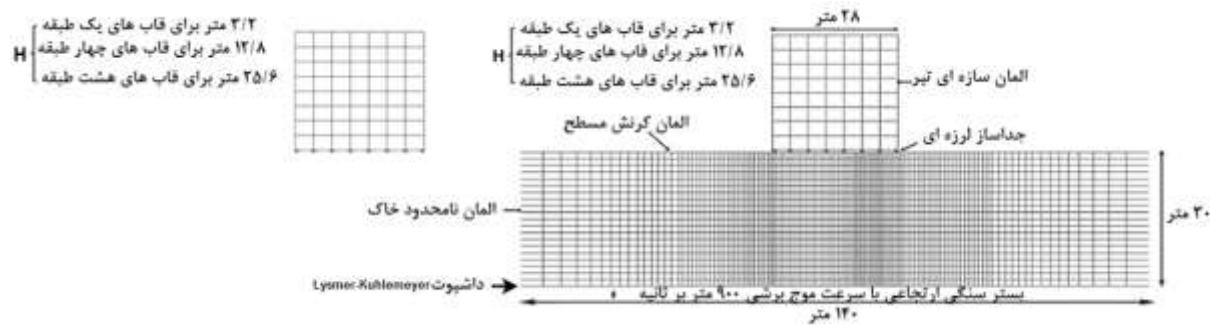
Ismail (۲۰۱۵) جداساز لرزه‌ای غلطکی درون قفس (RNC)<sup>۳</sup> را برای کنترل ضربات داخلی در جداساز و تأثیر آن در کارایی مؤثر جداسازهای لرزه‌ای، تحت زلزله‌های حوزه نزدیک موردمبررسی قرار داد. در این نوع جداسازهای از غلطکی‌هایی با شکل‌های مختلف استفاده می‌شود که درون یک قفس فولادی قرار می‌گیرند. نقش این قفس‌ها کنترل و خنثی نمودن ضربات داخلی است که غلطک‌ها ممکن است در طول زلزله‌ها وارد کنند.

Krishnamoorthy و همکاران (۲۰۱۶) یک مدل عددی برای تحلیل لرزه‌ای سازه‌های جداسازی شده با سیستم پاندولی اصطکاکی با در نظر گرفتن اندرکنش خاک و سازه توسعه دادند. در این تحلیل خاک به صورت الاستیک پیوسته در نظر گرفته شده و با استفاده از روش المان محدود مدل‌سازی شده است.

Ripani و Castaldo (۲۰۱۶) به طراحی بهینه مشخصات جداسازهای اصطکاکی پاندولی برای سازه‌های جداسازی شده با در نظر گیری شرایط مختلف خاک پرداخته‌اند. Mazza و همکاران (۲۰۱۶) به بررسی رفتار لرزه‌ای غیرخطی ساختمان‌های دارای انواع جداسازهای لرزه‌ای پایه تحت مؤلفه‌های افقی و قائم زلزله‌های حوزه نزدیک پرداختند و نتیجه گرفتند که جداسازهای پاندولی اصطکاکی دچار پیچش‌های جانبی، تغییر مکان‌های جانبی ماندگار و تغییر مکان‌های قائم (uplift) می‌شوند.

شماره ۵۲۳ معاونت نظارت راهبردی تحت عنوان طراحی و اجزای سیستم‌های جداساز لرزه‌ای در ساختمان‌ها استفاده شده است.

در این مطالعه، از جداسازهای لاستیکی سربی LRB استفاده می‌شود. برای تعیین مشخصات این جداسازهای لرزه‌ای، از نشریه



شکل ۱- قاب‌های مورد مطالعه در حالت‌های با در نظر گرفتن خاک و بدون در نظر گرفتن آن

جدول ۱- مشخصات چهار نوع خاک مورد مطالعه برای چهار گروه مختلف خاک در آیین‌نامه ایران

خاک	$V_s(m/s)$	توصیف آیین‌نامه	$\gamma(Kg/m^3)$	$E(N/m^2)$	$G(N/m^2)$	$\gamma$
I	۱۴۰۰	سنگ‌های روسوی سخت و مقاوم، سنگ‌های آذرین	۲۲۰۰	$۱,۱۲۱ \times 10^{11}$	$۴۳۱۲ \times 10^6$	۰/۳
II	۶۰۰	سنگ‌های آذرین سست، سنگ‌های سست روسوی و سنگ‌های دگرگونی متورق	۲۲۰۰	$۲,۱۸۴ \times 10^9$	$۷۹۲ \times 10^6$	۰/۳۵
III	۳۰۰	سنگ‌های متلاشی شده بر اثر هوازدگی، خاک‌های با تراکم متوسط	۲۲۰۰	$۵,۳۴۶ \times 10^8$	$۱۹۸ \times 10^6$	۰/۳۵
IV	۱۵۰	نهشت‌های نرم با رطوبت زیاد	۲۲۰۰	$۱,۳۸۶ \times 10^8$	$۴۹/۵ \times 10^6$	۰/۴

جدول ۲- مشخصات مقاطع، زمان تناوب و سختی و میرایی جداساز قاب مورد مطالعه

قاب	پریود	مشخصات جداساز لرزه‌ای			
		جادا	جادا	سنتون	تیر
یک طبقه	۱/۸۲	۰/۲۱	IPB ۱۸۰	IPB ۱۸۰	۶۲۸۳
چهار طبقه	۲/۴۶	۰/۵۴	IPB ۲۸۰	IPB ۲۲۰	۲۷۹۲۵
هشت طبقه	۲/۹۳	۱/۰۵	IPB ۳۴۰	IPB ۲۴۰	۵۵۴۱۷
			IPB ۳۲۰	IPB ۲۲۰	۷۸۹۵۶

$$K_{eff} = \frac{W}{g} \left( \frac{2\pi}{T_{iso}} \right)^2 \quad (1)$$

$$C = 2\xi \sqrt{MK_{eff}} \quad (2)$$

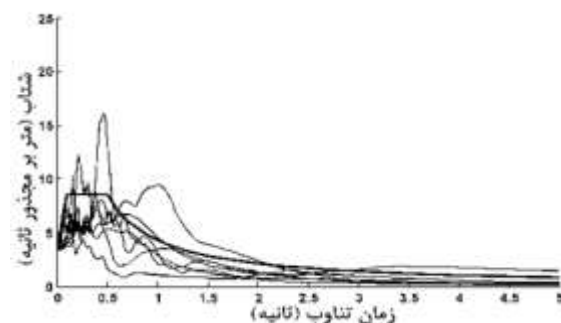
### ۳- رکوردهای زلزله

برای انجام تحلیل‌های تاریخچه زمانی از هفت رکورد زلزله حوزه نزدیک گسل و هفت زلزله حوزه دور از گسل و از نوع خاک‌های A و B با سرعت موج برنشی بیشتر از ۳۵۰ متر بر ثانیه استفاده

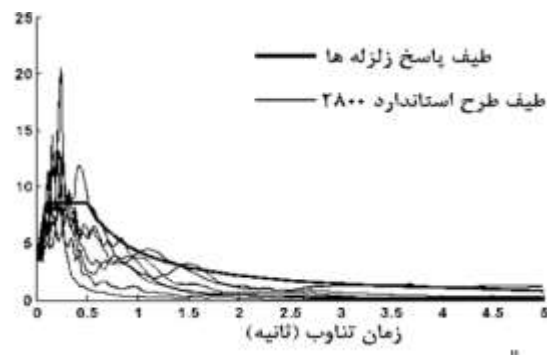
همچنین شایان ذکر است که در ابتدا قاب‌ها بدون جداسازهای لرزه‌ای طراحی شده و سپس جداسازهای لرزه‌ای در زیر آن‌ها برای مقایسه‌ای منطقی قرار داده شده‌اند. سختی و میرایی مؤثر جداسازهای طبق نشریه ۵۲۳ سازمان مدیریت، با استفاده از رابطه (۱) و (۲) محاسبه شده است. که در این روابط W و M به ترتیب وزن و جرم کل سازه،  $T_{iso}$  زمان تناوب سیستم جداسازی و  $\xi$  نسبت میرایی تراز جداسازی هستند.

با توجه به در نظر گرفتن قاب‌های دو بعدی تنها یک مؤلفه از رکوردهای زلزله در نظر گرفته شده است. در شکل (۲) طیف پاسخ شبه شتاب رکوردهای زلزله به همراه میانگین طیف پاسخ آن‌ها نشان داده شده است. از این شکل مشخص است که به دلیل تفاوت در پالس سرعت رکوردهای حوزه نزدیک با دور، طیف پاسخ زلزله‌های متفاوتی بین زلزله‌های حوزه نزدیک و دور، بهخصوص در زمان تناوب‌های طولانی‌تر، وجود دارد.

شده است. مهم‌ترین دلیل انتخاب رکوردهای زلزله از نوع خاک-های A و B این بود که قاب‌های پایه ثابت براساس طیف طراحی خاک‌های نوع سفت طراحی شده بودند. مشخصات این رکوردها در جدول (۳) داده شده است. با توجه به این که طیف وسیعی از قاب‌ها با زمان تناوب‌های مختلفی در نظر گرفته شده و همچنین برای مقایسه‌ای منطقی‌تر، رکوردهای زلزله برای شدت ۰/۳۵g که بیشینه شتاب طیف طرح می‌باشد، مقیاس‌بندی شده‌اند. همچنین،



(ب)



(الف)

شکل ۲- طیف پاسخ شبه شتاب رکوردهای حوزه نزدیک و حوزه دور از گسل برای شدت ۰/۳۵g:  
الف) زلزله‌های حوزه دور،  
ب) زلزله‌های حوزه نزدیک

جدول ۳- مشخصات زمین‌لرزه‌های حوزه نزدیک

نوع گسل	PGA (g)	فاصله (کیلومتر)	بزرگا	نوع خاک	ایستگاه	زلزله
نزدیک گسل	۱/۲۸۵	۴/۹۲	۶/۷	A	Pacoima Dam	Northridge
نزدیک گسل	۱/۲۱۹	۱/۸۱	۶/۶	A	Pacoima Dam	San Fernando
نزدیک گسل	۰/۴۴۳	۳/۲۲	۶/۹	A	Los Gotoz	Loma Prieta
نزدیک گسل	۰/۴۸۳	۷/۰۸	۶/۹	B	Nishi-Akashi	Kobe
نزدیک گسل	۰/۲۶۱	۷/۵۷	۷/۵۱	B	Gebze	Kocaeli
نزدیک گسل	۱/۰۳۹	۰/۰	۷/۰۱	B	Cape Mendocino	Cape Mendocino
نزدیک گسل	۰/۴۲۲	۳/۱	۵/۷	A	Gilroy Array	Coyote Lake

جدول ۴- مشخصات زمین‌لرزه‌های حوزه دور

نوع گسل	PGA (g)	فاصله (کیلومتر)	بزرگا	نوع خاک	ایستگاه	زلزله
دور از گسل	۰/۱۵۹	۱۸/۵۳	۶/۷	B	LA - Wonderland	Northridge
دور از گسل	۰/۲۰۵	۲۱/۵	۶/۶	B	Pasadena-old	San Fernando
دور از گسل	۰/۱۷۱	۱۷/۹۲	۶/۹	A	Gilroy Array	Loma Prieta
دور از گسل	۰/۱۱	۲۶/۵۱	۶/۹	B	Chihaya	Kobe
دور از گسل	۰/۰۶	۲۰/۴۴	۷/۵۱	B	Istanbul	Kocaeli
دور از گسل	۰/۲۲۹	۴۹/۹۱	۷/۰۱	B	Shellter Cove	Cape Mendocino
دور از گسل	۰/۱۱۶	۴۹/۶۶	۵/۷	B	SJB Overpass	Coyote Lake

#### ۴- مدل‌سازی

برای مدل‌سازی عددی مدل‌ها از نرم‌افزار اجزاء محدود آباکوس استفاده می‌شود. در این مدل‌سازی، اعضای تیرها و ستون‌ها به وسیله المان خطی تیر (B21) استفاده شده است. برای تعریف

$$[M] = \begin{bmatrix} m_1 & 0 \\ 0 & m_2 \end{bmatrix} = \begin{bmatrix} 5000 & 0 \\ 0 & 5000 \end{bmatrix} \quad (3)$$

$$[K] = \begin{bmatrix} k_1 + k_2 & -k_2 \\ -k_2 & k_2 \end{bmatrix} = \begin{bmatrix} 6808888 + 158000 & -6808888 \\ -6808888 & 6808888 \end{bmatrix} \quad (4)$$

فرکانس زاویه‌ای با استفاده از معادله زیر تعیین می‌گردد:

$$([K] - \omega^2[M])\{\varphi\} = 0 \quad (5)$$

$$\omega_1 = 3.96 \frac{\text{rad}}{\text{s}} \text{ and } \omega_2 = 52.33 \frac{\text{rad}}{\text{s}} \quad (6)$$

$$[\varphi] = \begin{bmatrix} 0.988 & 1 \\ 1 & -0.988 \end{bmatrix} \quad (7)$$

تحت تحلیل مودال، معادلات حرکت دینامیکی برای دو مود اول به صورت زیر تعیین می‌گردد:

$$\ddot{x}_1 + 1.58 \dot{x}_1 + 15.7 x_1 = -1.005 \ddot{x}_g \quad (8)$$

$$\ddot{x}_2 + 1.58 \dot{x}_2 + 15.7 x_2 = -0.006 \ddot{x}_g \quad (9)$$

می‌توان دید که تأثیر مود اول بسیار ناچیز است. براساس انتگرال دوهامل<sup>۱۱</sup>،  $x_1$  به صورت زیر نشان داده می‌شود:

$$x_1 = \frac{-\Gamma_1}{\omega_1} \int_0^t \ddot{x}_g(\tau) \times e^{-\beta_1 \omega_1(t-\tau)} \sin \omega_1(t-\tau) d\tau \quad (10)$$

با فرض  $\ddot{x}_g = 0.35 g \sin(20t)$

$$x_1 = \frac{-1.005}{3.96} \int_0^t \ddot{x}_g(\tau) \times e^{0.2 \times 0.396} \times \sin 3.96(t-\tau) d\tau \quad (11)$$

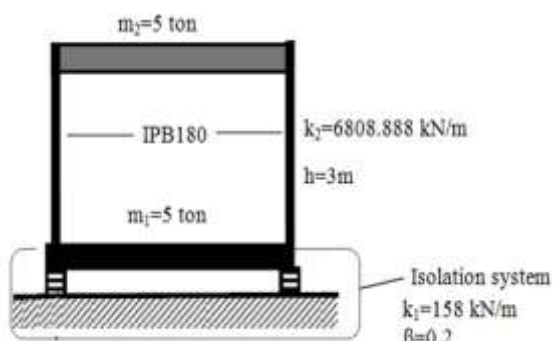
همچنین به کمک نرم‌افزار ABAQUS، یک قاب فولادی جداسازی شده دو بعدی با استفاده از المان‌های تیر مدل‌سازی شده است. جداسازها نیز توسط قیدهای کارتزین شیبیه‌سازی شده‌اند (شکل (۴)).

فولاد از مدل الاستوپلاستیک<sup>۷</sup> غیرخطی با سخت‌شوندگی ترکیبی ایزوتروپیک<sup>۸</sup> و پارامتریک استفاده شد. همچنین برای در نظر گرفتن فونداسیون، از یک تیر صلب (با سختی خمشی سه برابر حالت اولیه) استفاده شد.

با توجه به نیمه بی‌نهایت بودن خاک، انرژی واردہ به مدل می‌باشد از طریق مرزها خارج شود (میرایی هندسی). با توجه به این که روش‌های مختلفی برای اعمال مرز جاذب انرژی وجود دارد، در این مطالعه از المان‌های نامحدود برای تعریف محیط نیمه بی‌نهایت خاک بهره گرفته شد. همچنین در انتهای پروفیل خاک، بستر سنگی الاستیک با سرعت موج برشی ۹۰° متر بر ثانیه در نظر گرفته می‌شود. با توجه به این که پروفیل خاک به صورت ارجاعی در نظر گرفته شده است، برای هر نوع خاک از سرعت موج برشی متوسط داده شده در جدول (۱) استفاده می‌شود. برای مشبندی ناحیه محدود خاک که دارای ۱۴۰ متر پهنا و ۳۰ متر عمق است، از المان‌های کرنش مسطح جامد (CINPE4R) استفاده شده و از المان‌های نامحدود جامد (CPE4R) برای شبیه‌سازی ناحیه نامحدود خاک استفاده شده است.

##### - صحت‌سنجی مدل‌سازی

برای راستی آزمایی فرضیات مدل‌سازی قاب‌های فولادی جداسازی شده پایه، یک قاب یک طبقه با جداساز لرزه‌ای در نظر گرفته شد (شکل (۳)). نتایج تحلیل مودال<sup>۹</sup> این قاب تحت بار هارمونیک<sup>۱۰</sup> سینوسی به وسیله نرم‌افزار آباکوس و روابط تحلیلی محاسبه شده و با هم مقایسه شدند.



شکل ۳- هندسه و خصوصیات قاب

ماتریس‌های جرم و سختی در تحلیل مودال به صورت زیر توصیف می‌گردند. نقش جداساز لرزه‌ای با سختی  $k_1$  در معادله (۴) در نظر گرفته شده است. همچنین این مشخصات در نرم‌افزار آباکوس با قیدهای کارتزین در نظر گرفته شده‌اند.

10. Harmonic Load  
11. Duhamel's integral

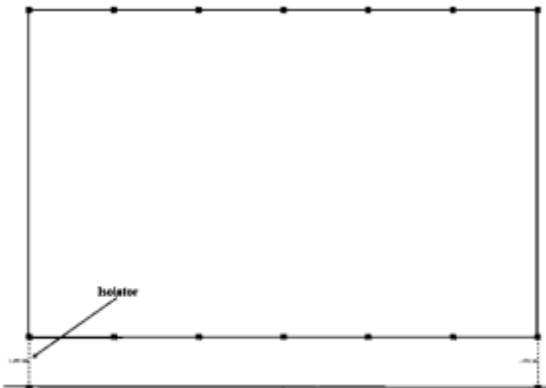
7. Elasto-Plastic  
8. Isotropic  
9. Modal Analysis

پیدا می کند. این کاهش و افزایش، معمولاً در محدوده ۳۰ درصد است.

در شکل (۷) نسبت شتاب پایه در تراز جداسازی ( $ABi$ ) به بیشینه شتاب زمین ( $AG$ ) برای حالت با و بدون اندرکنش خاک و سازه نشان داده شده است. از این شکل می توان فهمید نسبت شتاب پایه تحت زلزله های حوزه نزدیک تا حدود ۳۰ درصد بیشتر از زلزله های حوزه دور است. در مجموع نتایج شتاب طبقات و شتاب پایه نشان می دهد که در قاب های با تعداد طبقات بالاتر و احداث شده در خاک های نرم، استفاده از جداساز لرزه ای پایه تحت زلزله های نزدیک گسل، نیاز به دقت نظر بیشتری دارد.

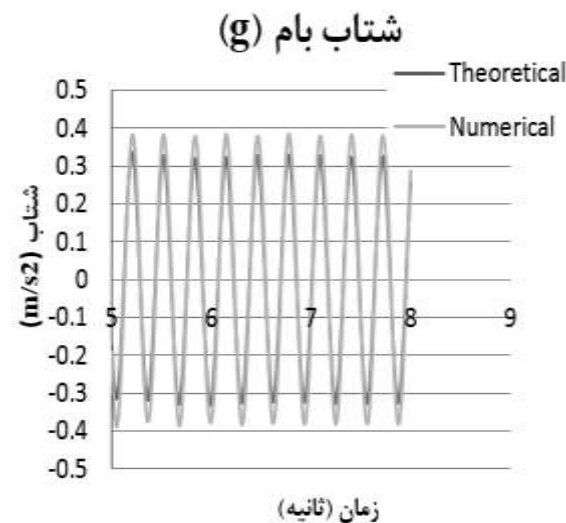
**۶-۶- تغییر مکان جانبی طبقات و پایه**  
 در شکل (۸) تغییر مکان جانبی طبقات نسبت به تراز پایه فونداسیون برای قاب های مختلف نشان داده شده است. در اینجا، منظور از تراز صفر ارتفاعی، تراز پایین جداسازهای لرزه ای و یا پایه فونداسیون است که در آن تغییر مکان نسبی برابر است با صفر. طبق این شکل، برای قاب های پایه ثابت، تغییر مکان جانبی طبقات، با در نظر گیری اندرکنش خاک و سازه افزایش پیدا می کند. برای قاب های با جداساز لرزه ای پایه، در نظر گیری اندرکنش خاک و سازه، تأثیر چندان زیادی بر روی نتایج تغییر مکان جانبی طبقات مدل های ۱ و ۴ طبقه ندارد. لیکن با افزایش تعداد طبقات به ۸ طبقه در قاب های با جداساز لرزه ای پایه، تأثیر اندرکنش خاک و سازه بر روی نتایج تغییر مکان طبقات قابل توجه است. برای مثال حداکثر تغییر مکان طبقات در قاب ۸ طبقه جداسازی شده برای خاک نوع D و تحت زلزله های حوزه نزدیک، تا حدود ۸۰ درصد بیشتر از حالت بدون در نظر گیری اندرکنش خاک و سازه است. این نتایج نشان می دهد که استفاده از جداساز لرزه ای پایه، با افزایش تعداد طبقات و در نظر گیری اندرکنش خاک و سازه، چه تحت زلزله های حوزه دور و چه تحت زلزله های حوزه نزدیک، چندان مطلوب به نظر نمی رسد.

در شکل (۹) حداکثر تغییر مکان پایه قاب های با جداساز لرزه ای به ازای خاک های مختلف نشان داده شده است. به طور کلی می توان مشاهده کرد که تغییر مکان پایه قاب های تحت زلزله های حوزه نزدیک در تمام موارد بیشتر از موارد تحت زلزله های حوزه دور است. همچنین می توان گفت در نظر گیری اندرکنش خاک و سازه برای مدل های یک و چهار طبقه، تأثیر زیادی بر روی نتایج تغییر مکان پایه قاب های ندارد. لیکن، برای مدل های هشت طبقه، در خاک های نرم تر، حداکثر تغییر مکان پایه قاب های در تراز جداساز لرزه ای نسبت به حالت بدون در نظر گیری اندرکنش خاک و سازه بیشتر می شود. به طور مشخص، تحت زلزله های حوزه نزدیک، قاب هشت طبقه با خاک نوع D دارای حداکثر تغییر مکان پایه تا حدود



شکل ۴- شبیه سازی عددی

در اولین تحلیل مودال فرکانس های  $\omega_1 = 3.84 \frac{rad}{s}$  و  $\omega_2 = 49.2 \frac{rad}{s}$  به دست می آید. پاسخ قاب ها تحت دو حالت تحلیل مودال و نرم افزار ABAQUS در شکل (۵) آمده است. تطبیق نتایج عددی و تئوری در شکل (۵) به خوبی پیداست.



شکل ۵- سقف شتاب (m/s<sup>2</sup>)

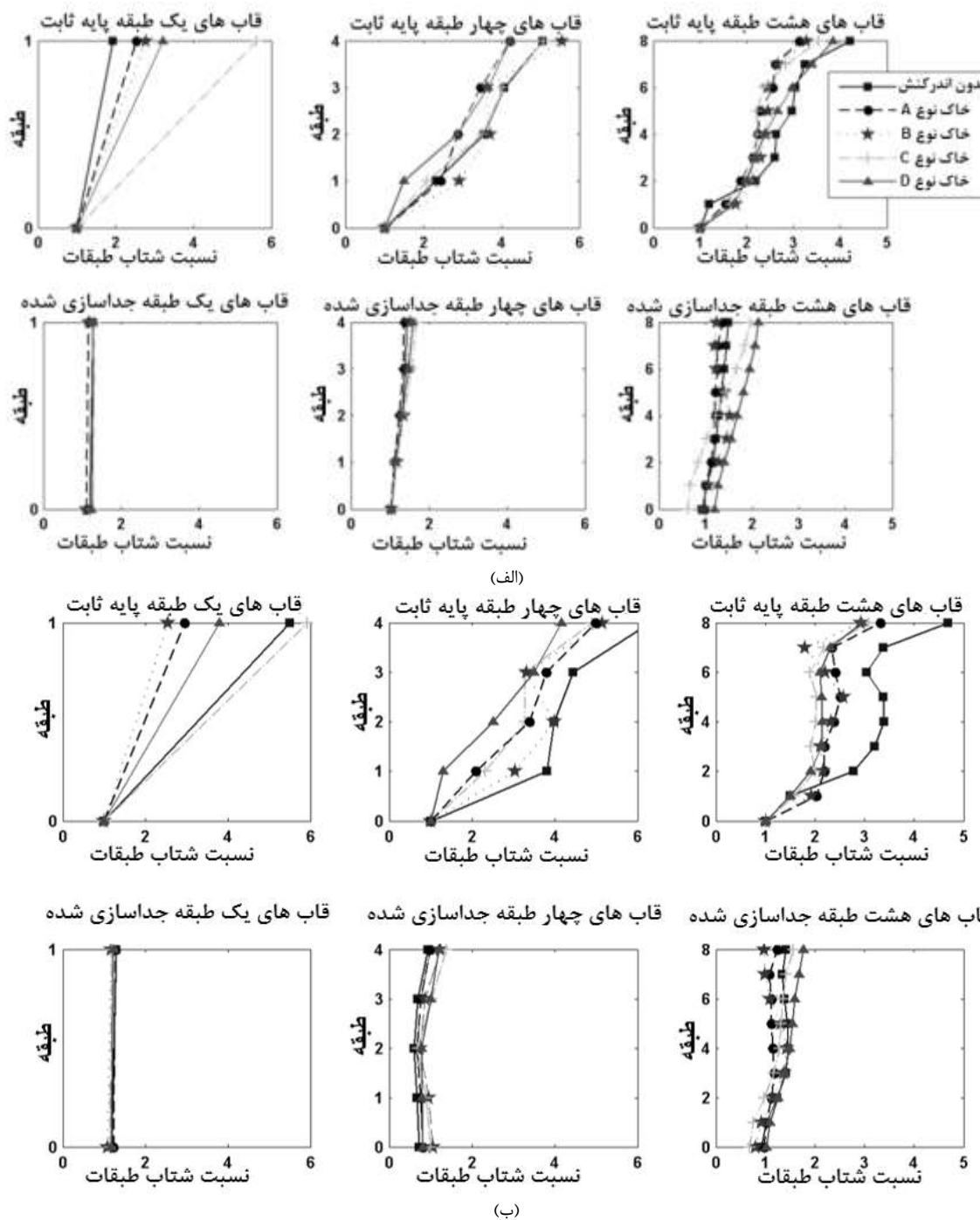
#### ۶- بررسی نتایج

##### ۶-۱- شتاب طبقات و پایه

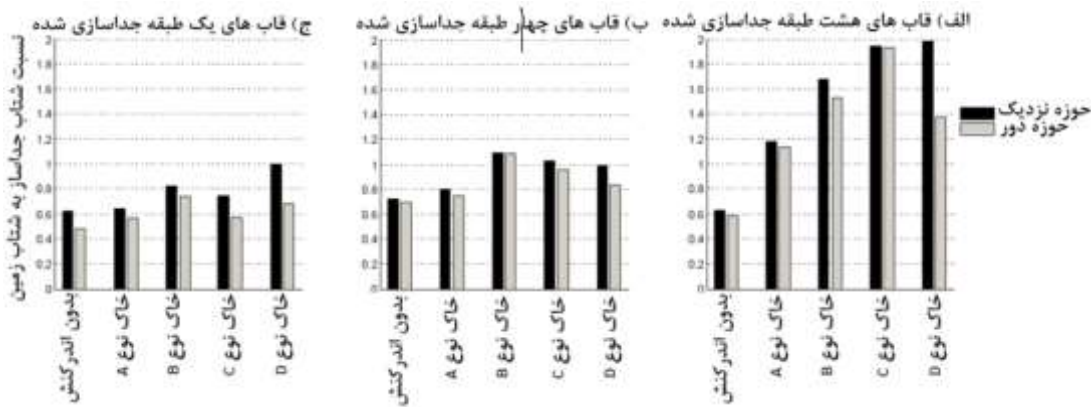
در شکل (۶) نسبت شتاب طبقات به بیشینه شتاب زمین که با ضریب شتاب طبقات بیان شده است، برای قاب های مختلف در حالت با و بدون اندرکنش خاک و سازه نشان داده شده است. همان طور که دیده می شود، تعبیه جداساز پایه سبب می شود زمان تناوب اصلی قاب افزایش و شتاب طبقات به شدت کاهش یابد. این کاهش تا حدود ۲۰ درصد حالت پایه ثابت و حتی کمتر نیز می رسد. این نسبت با در نظر گرفتن اندرکنش خاک و سازه، برای قاب های با پایه ثابت، به خصوص برای طبقات بالاتر، کاهش پیدا می کند ولیکن برای قاب های دارای جداساز پایه، معمولاً افزایش

چهار طبقه، بسیار مطلوب می‌باشد، ولیکن با افزایش تعداد طبقات تا ۸ طبقه، استفاده از جداساز لرزه‌ای پایه بر روی خاک نرم چندان مطلوب نیست.

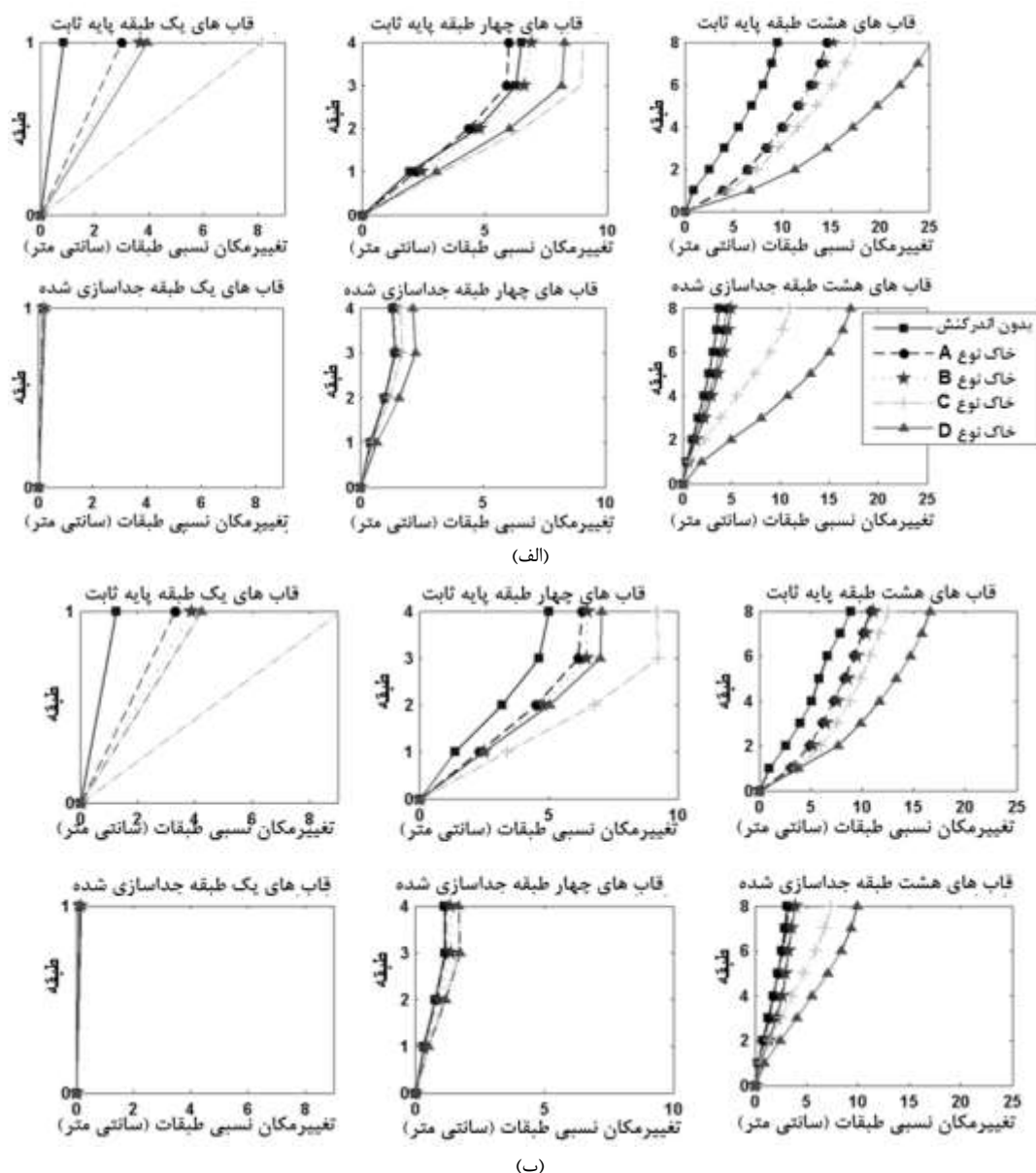
۴۰ درصد بیشتر از حالت بدون اندرکنش خاک و سازه است. طبق این نتایج، می‌توان دریافت که بهمانند نتایج شتاب و تغییر مکان طبقات، استفاده از جداسازهای لرزه‌ای پایه در مدل‌های یک و



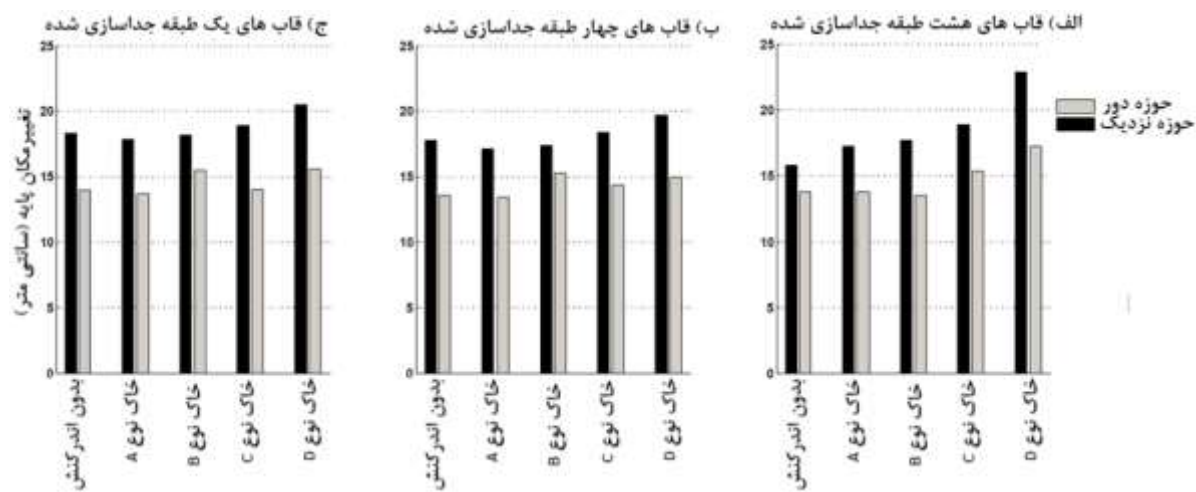
شکل ۶- تغییرات نسبت ضرایب بزرگ‌نمایی شتاب طبقات به شتاب پایه تحت زلزله‌های حوزه نزدیک و دور:  
الف) زلزله‌های حوزه نزدیک، ب) زلزله‌های حوزه دور



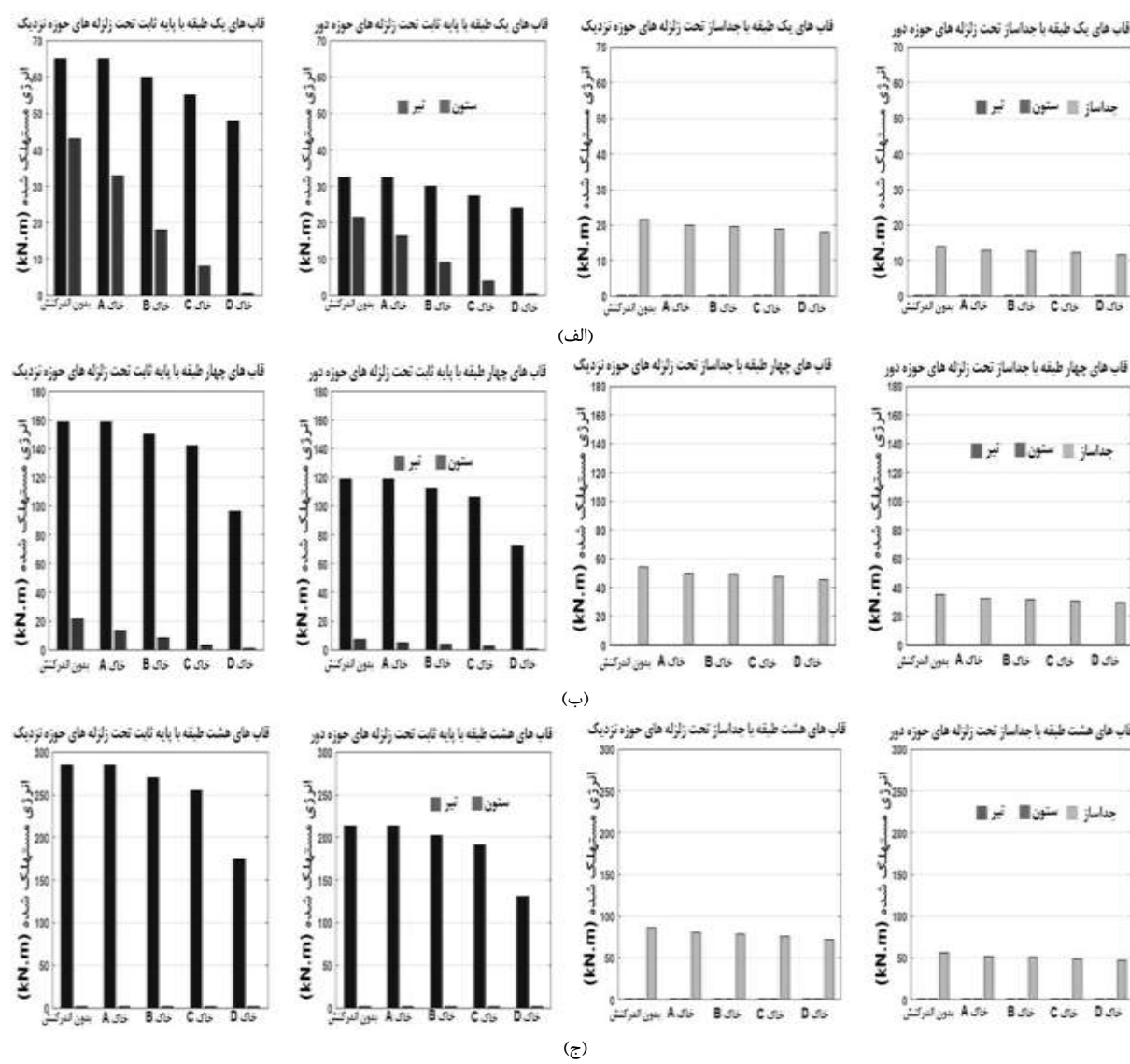
شکل ۷- نسبت شتاب پایه به حداکثر شتاب زمین به ازای شرایط خاک مختلف



شکل ۸- مقادیر تغییر مکان طبقات نسبت به تراز پایه برای قاب های جداسازی شده و بدون جداسازی به ازای تغییرات نوع خاک تحت زلزله های حوزه نزدیک و دور: (الف) زلزله های حوزه نزدیک، (ب) زلزله های حوزه دور



شکل ۹- تغییرات تغییر مکان پایه در تراز جداساز به ازای تغییرات نوع خاک



شکل ۱۰- انرژی مستهلك شده در اعضای قاب

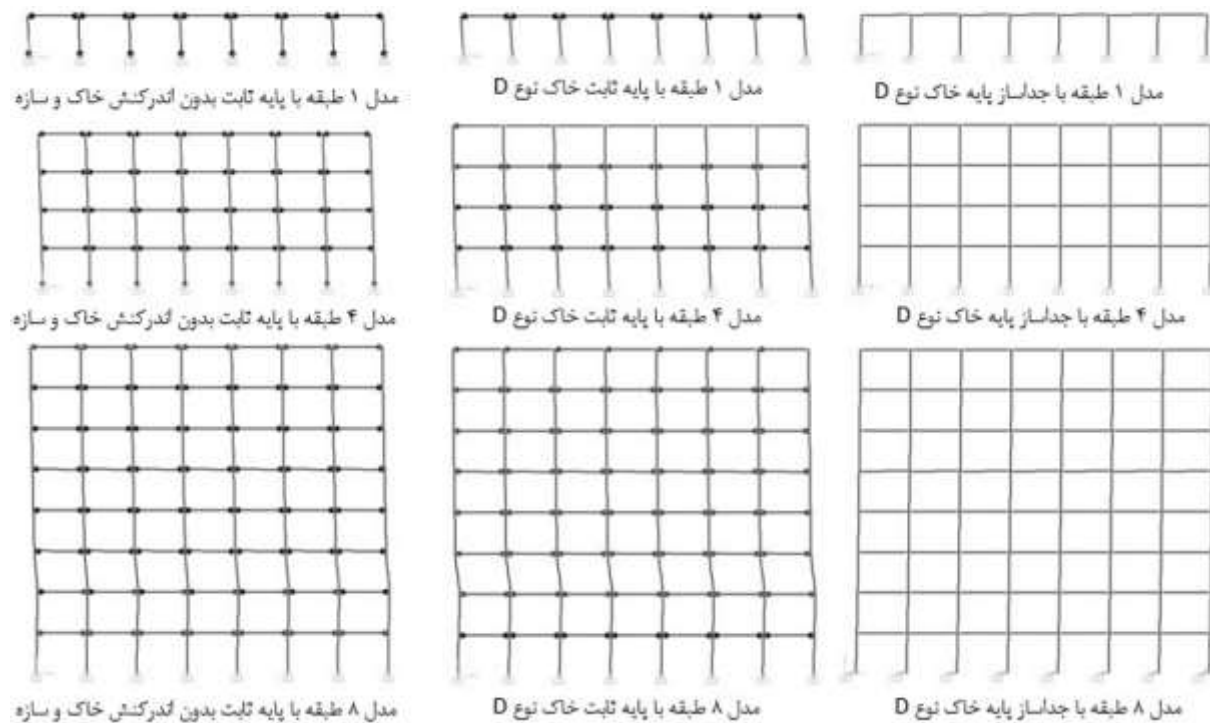
نیز کاهش می‌یابد که پیامد آن کاهش خسارت به اعضای قاب است.

در قاب‌های جadasازی شده پایه، تمام استهلاک انرژی در جadasازهای لرزه‌ای مرکز شده و اعضای اصلی بدون خسارت باقی می‌مانند. در این حالت، اندرکنش خاک و سازه تأثیر بسیار ناچیزی بر روی نتایج استهلاک انرژی دارد.

در شکل (۱۱) روند تشکیل مفصل پلاستیک مدل‌های یک، چهار و هشت طبقه را در خاک نوع D، نشان داده شده است. شایان ذکر است سایر حالات تقریباً شبیه این حالات است. در قاب‌های با پایه ثابت، تعداد مفصل پلاستیک بیشتری در اعضای تیر و همچنین پایه ستون‌ها تشکیل می‌شود. برای خاک نوع D، تمام مفاسل پلاستیک در تیرها و با شدت کمتری ایجاد شده‌اند. همچنین با وجود جadasاز پایه، هیچ‌گونه مفصل پلاستیکی در اعضای اصلی قاب تشکیل نشده و این اعضا در حالت ارجاعی باقی می‌مانند.

### ۶-۳- انرژی مستهلك شده در سازه

در شکل (۱۰) انرژی مستهلك شده در اعضای تیر، ستون و جadasاز نشان داده شده است. طبق این شکل، در قاب‌های با پایه ثابت، انرژی مستهلك شده در قاب‌های تحت زلزله‌های حوزه نزدیک بیشتر از زلزله‌های حوزه دور است. برای قاب‌های یک طبقه با پایه ثابت بدون اندرکنش خاک و سازه، سهم انرژی مستهلك شده در تیرها حدود ۶۰ درصد و در ستون‌ها حدود ۴۰ درصد است. حال آن‌که با در نظر گیری اندرکنش خاک و سازه برای قاب‌های یک طبقه با پایه ثابت، انرژی مستهلك شده در ستون‌ها رفتار کم و کمتر شده به گونه‌ای که در خاک نوع D هیچ‌گونه انرژی مستهلك شده‌ای در ستون‌ها مشاهده نمی‌شود و تمام انرژی مستهلك شده در تیرها متتمرکز است. برای قاب‌های چهار و هشت طبقه با پایه ثابت، بخش عمده انرژی مستهلك شده (تا ۸۰ درصد) در تیرها است و با در نظر گیری اندرکنش خاک و سازه، از شدت استهلاک انرژی در اعضای تیر و ستون کاسته می‌شود. با لحاظ نمودن اندرکنش خاک و سازه، شتاب و برش طبقات



شکل ۱۱- روند تشکیل مفصل پلاستیک در اعضای قاب

یک، چهار و هشت طبقه بودند که با قاب‌های با پایه ثابت با استفاده از نرم‌افزار اجزاء محدود ABAQUS مدل و مقایسه شدند. با توجه به نتایج بدست‌آمدۀ می‌توان گفت:

- برای قاب‌های با جadasاز لرزه‌ای پایه، در نظر گیری اندرکنش خاک و سازه، تأثیر چندان زیادی بر روی نتایج

### ۷- نتیجه‌گیری

در این مطالعه به تأثیر اندرکنش خاک و سازه بر روی رفتار لرزه‌ای قاب‌های با جadasاز لرزه‌ای پایه تحت اثر زلزله‌های حوزه نزدیک و دور از گسل پرداخته شده است. قاب‌های مورد بررسی در این مطالعه قاب‌های با پایه جadasازی شده در سه سطح ارتفاعی

- buildings under bidirectional excitation", *Earthquake Engineering and Engineering Vibration*, 2017, 16 (2), 365-382.
- Buckle IG, Mayes RL, "Seismic isolation: history, application, and performance-a world view", *Earthquake spectra*, 1990, 6 (2), 161-201.
- Calio I, Greco A, Santini A, "A parametric study of sliding multistory buildings under harmonic excitations", In Proceedings of the Eleventh European Conference on Earthquake Engineering, 1998.
- Casciati S, Borja RI, "Dynamic FE analysis of South Memnon Colossus including 3D soil-foundation-structure interaction", *Computers and Structures*, 2004, 82 (20-21), 1719-1736.
- Castaldo P, Ripani M, "Optimal design of friction pendulum system properties for isolated structures considering different soil conditions", *Soil Dynamics and Earthquake Engineering*, 2016, 90, 74-87.
- Cubrinovski M, Ishihara K, "Simplified method for analysis of piles undergoing lateral spreading in liquefied soils", *Soils and Foundations*, 2004, 44 (5), 119-133.
- Ding Y, Chen X, Li A, Zuo X, "A new isolation device using shape memory alloy and its application for long-span structures", *Earthquake Engineering and Engineering Vibration*, 2011, 10 (2), 239-252.
- Garevski M, Gjorgiev I, Edip K, Sesov V, Cvetanovska J, "Effects of soil medium on response of base isolated multistory frame structures", In 15<sup>th</sup> World Conference on Earthquake Engineering, Lisbon, Portugal, September, 2012.
- Goda K, Lee CS, Hong HP, "Lifecycle cost-benefit analysis of isolated buildings", *Structural Safety*, 2010, 32 (1), 52-63.
- Ismail M, "Inner pounding control of the RNC isolator and its impact on seismic isolation efficiency under near-fault earthquakes", *Engineering Structures*, 2015, 86, 99-121.
- Jangid RS, "Response of pure-friction sliding structures to bi-directional harmonic ground motion", *Engineering Structures*, 1997, 19 (2), 97-104.
- Jangid RS, Kelly JM, "Base isolation for near-fault motions", *Earthquake Engineering and Structural Dynamics*, 2001, 30 (5), 691-707.
- Jaya KP, Prasad AM, "Embedded foundation in layered soil under dynamic excitations", *Soil Dynamics and Earthquake Engineering*, 2002, 22 (6), 485-498.
- Jia G, Shi Z, "A new seismic isolation system and its feasibility study", *Earthquake Engineering and Engineering Vibration*, 2010, 9 (1), 75-82.
- Karapetrou ST, Fotopoulos SD, Pitilakis KD, "Seismic vulnerability assessment of high-rise non-ductile RC buildings considering soil-structure interaction effects", *Soil Dynamics and Earthquake Engineering*, 2015, 73, 42-57.
- Kelly JM, "Earthquake-resistant design with rubber", Springer, New York, USA, 1993.
- Kelly JM, "Progress of applications and development in base isolation for civil and industrial structures in the United States", In Proceedings of the International Post-SMiRT Conference Seminar, 1999, 71-84.
- تغییر مکان جانبی طبقات مدل‌های یک و چهار طبقه ندارد ولیکن در قاب هشت طبقه خاک نرم حوزه نزدیک، تا حدود ۸۰ درصد بیشتر است.
- شتاب طبقات در سازه‌های دارای جداساز پایه، بهشدت کاهش یابد و تا حدود ۲۰ درصد حالت پایه ثابت و حتی کمتر نیز می‌رسد.
  - لحاظ کردن اندرکنش خاک و سازه، برای قاب‌های با پایه ثابت، به خصوص برای طبقات بالاتر، سبب کاهش شتاب طبقات می‌شود و برای قاب‌های دارای جداساز پایه یک و چهار طبقه تأثیر چندانی نداشته ولیکن در قاب هشت طبقه معمولًا سبب افزایش تا حدود ۳۰ درصد آن می‌شود.
  - نسبت شتاب پایه تحت زلزله‌های حوزه نزدیک تا حدود ۳۰ درصد بیشتر از زلزله‌های حوزه دور است.
  - با توجه به نتایج شتاب و تغییر مکان طبقات می‌توان گفت استفاده از جداساز لرزه‌ای پایه، برای قاب‌های با تعداد طبقات بالاتر، مطلوب نیست.
  - با توجه به نتایج انرژی مستهلك شده، احتمال آسیب به اعضاي اصلی تیر و ستون قاب با پایه ثابت زياد است. در حالی که در قاب‌های دارای جداساز لرزه‌ای، اعضا بدون آسیب باقی می‌مانند و تمام انرژی توسط جداسازها، مستهلك می‌شود.
- ## -۸- مراجع
- استاندارد ۲۸۰۰، "آیین‌نامه طراحی ساختمان‌ها در برابر زلزله"، ویرایش چهارم، وزارت راه و شهرسازی، ۱۳۹۳.
- نشریه شماره ۵۲۳، "راهنمای طراحی و اجرای سیستم‌های جداساز لرزه‌ای در ساختمان‌ها"، معاونت برنامه‌ریزی و نظارت راهبردی، ۱۳۸۹.
- Alavi E, Alidoost M, "Soil-structure interaction effects on seismic behavior of base-isolated buildings", In Proceedings of the 15<sup>th</sup> World Conference on Earthquake Engineering (15WCEE), Lisbon, Portugal Sep. 24 (24-28), 2012.
- Alhan C, Gazi H, Kurtuluş H, "Significance of stiffening of high damping rubber bearings on the response of base-isolated buildings under near-fault earthquakes", *Mechanical Systems and Signal Processing*, 2016, 79, 297-313.
- American Society of Civil Engineers (ASCE), "Minimum design loads for buildings and other structures", American Society of Civil Engineers, Virginia, USA, 2010.
- Behnamfar F, Sayyadpour H, "The near-field method: a modified equivalent linear method for dynamic soil-structure interaction analysis. Part I: Theory and methodology", *Bulletin of Earthquake Engineering*, 2016, 14 (8), 2361-2384.
- Bhagat S, Wijeyewickrema AC, "Seismic response evaluation of base-isolated reinforced concrete

- Naeim F, Kelly JM, "Design of seismic isolated structures: from theory to practice", John Wiley and Sons, 1999.
- Ozbulut OE, Bitaraf M, Hurlebaus S, "Adaptive control of base-isolated structures against near-field earthquakes using variable friction dampers", *Engineering Structures*, 2011, 33 (12), 3143-3154.
- Polycarpou PC, Komodromos P, "Earthquake-induced poundings of a seismically isolated building with adjacent structures", *Engineering Structures*, 2010, 32 (7), 1937-1951.
- Rayhani MH, El Naggar MH, "Numerical modeling of seismic response of rigid foundation on soft soil", *International Journal of Geomechanics*, 2008, 8 (6), 336-346.
- Sharbatdar MK, Vaez SH, Amiri GG, Naderpour H, "Seismic response of base-isolated structures with LRB and FPS under near fault ground motions", *Procedia Engineering*, 2011, 14, 3245-3251.
- Sheikhi J, Fathi M, Rahnavaud R, "Natural rubber bearing incorporated with high toughness steel ring dampers", *Structures*, 2020, 24, 107-123.
- Sheikhi J, Fathi M, Rahnavaud R, Napolitano R, "Numerical analysis of natural rubber bearing equipped with steel and shape memory alloys dampers", *Structures*, 2021, 32, 1839-1855.
- Soyoz S, Cetin Ko, Sucuoglu H, "Effects of soil-structure interaction and base isolation on seismic performance of foundation soils", 2007.
- Spyrakos CC, Koutromanios IA, Maniatakis CA, "Seismic response of base-isolated buildings including soil-structure interaction", *Soil Dynamics and Earthquake Engineering*, 2009, 29 (4), 658-668.
- Spyrakos CC, Maniatakis CA, Koutromanios IA, "Soil-structure interaction effects on base-isolated buildings founded on soil stratum", *Engineering Structures*, 2009, 31 (3), 729-737.
- Tsai CS, Su HC, "Investigation of soil-structure interaction and higher-mode effects on dynamic response of base-isolated structure founded on half space1", In Pressure Vessels and Piping Conference (Vol. 55744, p. V008T08A009), American Society of Mechanical Engineers, 2013.
- Tsai CS, Su HC, "Role of soil-structure interaction in base-isolated structures founded on soil stratum overlying half space", In Pressure Vessels and Piping Conference, Vol. 55744, V008T08A010, American Society of Mechanical Engineers, 2013.
- Veletsos AS, Verbić B, "Vibration of viscoelastic foundations", *Earthquake Engineering and Structural Dynamics*, 1973, 2 (1), 87-102.
- Wolf JP, "Spring-dashpot-mass models for foundation vibrations", *Earthquake Engineering and Structural Dynamics*, 1997, 26 (9), 931-949.
- Zhao C, Valliappan S, Wang YC, "A numerical model for wave scattering problems in infinite media due to p-and sv-wave incidences", *International Journal for Numerical Methods in Engineering*, 1992, 33 (8), 1661-1682.
- Kelly JM, "Seismic isolation as an innovative approach for the protection of engineered structures", In 11<sup>th</sup> European Conference on Earthquake Engineering, 1998, 338.
- Komodromos P, "Simulation of the earthquake-induced pounding of seismically isolated buildings", *Computers & Structures*, 2008, 86 (7-8), 618-626.
- Li CP, Liu WQ, Wang SG, Du DS, "Analysis of soil-structure interaction (SSI) effects on seismic response of base-isolated structures", In *Advanced Materials Research*, 2011, 163, 4199-4207.
- Lu LY, Lin GL, Shih MH, "An experimental study on a generalized Maxwell model for nonlinear viscoelastic dampers used in seismic isolation", *Engineering Structures*, 2012, 34, 111-123.
- Luco JE, "Effects of soil-structure interaction on seismic base isolation", *Soil Dynamics and Earthquake Engineering*, 2014, 66, 167-177.
- Lysmer J, Kuhlemeyer RL, "Finite dynamic model for infinite media", *Journal of the Engineering Mechanics Division*, 1969, 95 (4), 859-877.
- Mahmoud S, Austrell PE, Jankowski R, "Non-linear behaviour of base-isolated building supported on flexible soil under damaging earthquakes", In *Key Engineering Materials*, 2012, 488, 142-145.
- Manna B, Baidya DK, "Dynamic nonlinear response of pile foundations under vertical vibration-Theory versus experiment", *Soil Dynamics and Earthquake Engineering*, 2010, 30 (6), 456-469.
- Manolis GD, Markou A, "A distributed mass structural system for soil-structure-interaction and base isolation studies", *Archive of Applied Mechanics*, 2012, 82 (10), 1513-1529.
- Mavronicola E, Komodromos P, "Assessing the suitability of equivalent linear elastic analysis of seismically isolated multi-storey buildings", *Computers and structures*, 2011, 89 (21-22), 1920-1931.
- Mazza F, "Lateral-torsional response of base-isolated buildings with curved surface sliding system subjected to near-fault earthquakes", *Mechanical Systems and Signal Processing*, 2017, 92, 64-85.
- Mazza F, Mazza M, "Nonlinear seismic analysis of irregular rc framed buildings base-isolated with friction pendulum system under near-fault excitations", *Soil Dynamics and Earthquake Engineering*, 2016, 90, 299-312.
- Mazza F, Vulcano A, "Effects of near-fault ground motions on the nonlinear dynamic response of base-isolated rc framed buildings", *Earthquake Engineering and Structural Dynamics*, 2012, 41 (2), 211-232.
- Mazza F, Vulcano A, Mazza M, "Nonlinear dynamic response of RC buildings with different base isolation systems subjected to horizontal and vertical components of near-fault ground motions", *The Open Construction and Building Technology Journal*, 2012, 6 (1), 373-383.
- Minasidis G, Hatzigeorgiou GD, Beskos DE, "SSI in steel frames subjected to near-fault earthquakes", *Soil Dynamics and Earthquake Engineering*, 2014, 66, 56-68.

## EXTENDED ABSTRACT

# Study of Seismic Behavior of Base-Isolated Buildings under Near and Far-Field Earthquakes by Considering the Soil-Structure Interaction

Maryam Rashidi, Mojtaba Fathi \*, Afshin Naserpour

Department of Civil Engineering, Engineering Faculty, Razi University, Kermanshah, Iran

**Received:** 24 August 2021; **Review:** 22 November 2021; **Accepted:** 04 December 2021

### Keywords:

Seismic isolation, Soil-structure interaction, Soft soil, Near field, Floor acceleration, Floor displacement.

## 1. Introduction

The present paper investigates the effect of soil-structure interaction on the seismic behavior of base-isolated frames under near and far-fault earthquakes. For this purpose, the nonlinear time history results of 1, 4 and 8-story base-isolated frames are compared with corresponding fixed base ones. ABAQUS finite element software is used for numerical modeling on which time history analyzes are performed.

## 2. Methodology

### 2.1. Studied models and analyses

The studied models are moment-resisting steel frames of 1, 4 and 8 stories. These frames are placed on different soil types and are considered as fixed base or base-isolated. To perform time history analysis on the study models, seven near-fault and far-fault earthquake records are used.

### 2.2. FE modeling

For numerical modeling, ABAQUS finite element software is used. In this modeling, the beam and column members are simulated by the linear beam element (B21). To define steel material, nonlinear elastoplastic model with combined isotropic and kinematic hardening is assigned. Also a rigid beam is used to consider the foundation.

Due to the semi-infinity of the soil, the energy applied to the model must be dissipated through the boundaries (geometric damping). To this end, infinite elements are used to define the semi-infinite soil environment and an elastic rock bed with a shear wave velocity of 900 m/s is taken into account at the bottom of the soil (Wolf, 1997; Minasidis, 2014; Karapetrou, 2015).

## 3. Results and discussion

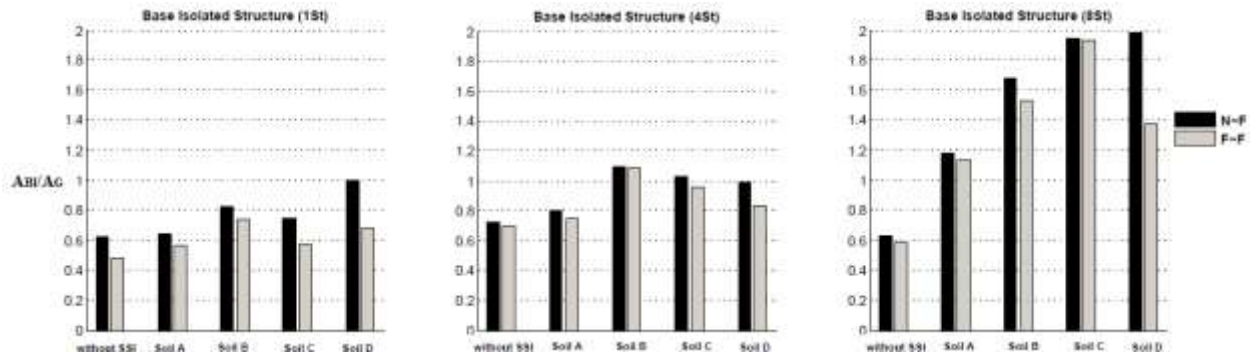
### 3.1. Acceleration results

Fig. 1 shows the ratio of base acceleration at isolator level (ABI) to maximum ground acceleration (AG) for frames with and without soil-structure interaction. From this figure, it can be seen that the base acceleration ratio of frames for near-fault earthquakes is up to about 30% higher than that for far-fault ones. Also, the base

\* Corresponding Author

E-mail addresses: rashidi6889@gmail.com (Maryam Rashidi), fathim@razi.ac.ir (Mojtaba Fathi), naserpour.afshin@gmail.com (Afshin Naserpour).

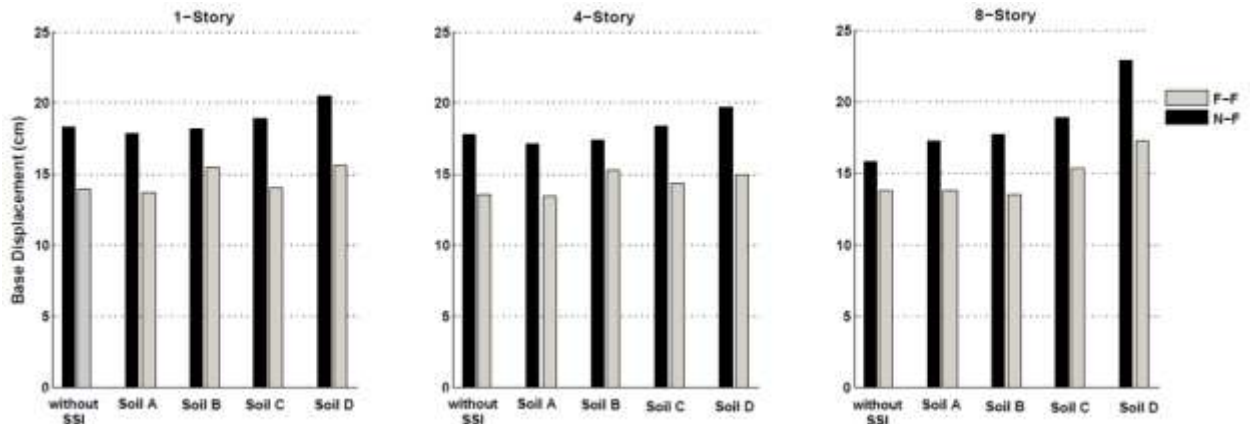
acceleration ratio reveals that in frames with a higher number of stories and located on soft soils, the use of base isolator requires more attention, especially for near-fault earthquakes.



**Fig. 1.** Base acceleration ratio of studied models subjected to near and far-fault earthquakes

### 3.2. Base displacement results

Fig. 2 illustrates the maximum base displacement results of base-isolated frames for different soil types. In general, it can be seen that for all cases, the base displacement of the frames under near-fault earthquakes is higher than that under distant-fault earthquakes. It can also be observed that for 1- and 4-story models, considering soil-structure interaction does not have much effect on the base displacement results. However, for base-isolated 8-story models located on softer soils, the maximum base displacement is increased as compared to the frame without considering the soil-structure interaction.



**Fig. 2.** Base displacement results of the base-isolated frames subjected near and far-fault earthquakes

## 4. Conclusions

The present study investigated the effect of soil-structure interaction on base-isolated frames under near- and far-fault earthquakes. According to the results, it can be obtained that the use of base isolator for 1- and 4-story frames is suitable for all cases. However, for 8-story frames located on soft soil and subjected to near-fault earthquakes, the use of a base isolator is not very useful.

## 5. References

- Wolf JP, "Spring-dashpot-mass models for foundation vibrations", *Earthquake engineering and structural dynamics*, 1997, 26 (9), 931-949.
- Minasidis G, Hatzigeorgiou GD, Beskos DE, "SSI in steel frames subjected to near-fault earthquakes", *Soil Dynamics and Earthquake Engineering*, 66, 56-68.
- Karapetrou ST, Fotopoulou SD, Pitilakis KD, "Seismic vulnerability assessment of high-rise non-ductile RC buildings considering soil-structure interaction effects", *Soil Dynamics and Earthquake Engineering*, 73, 42-57.